

УДК 535.34 : 537.311.33

## РЕЗОНАНСНОЕ ПОГЛОЩЕНИЕ СВЕТА В МАЛЫХ ЧАСТИЦАХ ПОЛУПРОВОДНИКА

Усоскин А. И., Попова О. А.

Развита модель коллективных резонансов в малых частицах полупроводника с учетом поляризационных эффектов на границе частицы и окружающего диэлектрика. Обнаружено удовлетворительное согласие теории и эксперимента для частиц теллура.

Оптические резонансы в малых частицах широко исследованы экспериментально и теоретически для металлов с высокой концентрацией свободных электронов [1-4]. Показано [3, 4], что в этом случае резонанс обусловлен появлением плазмонов, причем на частоту и амплитуду резонанса существенно влияет присутствие междузонного поглощения. В то же время для случая чисто междузонного поглощения аналогичные резонансные эффекты исследованы крайне недостаточно. В частности, до сих пор остается не выясненным вопрос о том, насколько теоретический подход, развитый для металлических частиц [4], может быть распространен на случай частиц полупроводника [5].

Простые оценки показывают, что в отличие от наиболее полно исследованных частиц серебра [2-4, 6] в случае полупроводника при  $\lambda > 200$  нм может наблюдаться более существенный нерезонансный «фон»  $\epsilon_f$  диэлектрической постоянной, обусловленный междузонным поглощением в области вакуумного УФ излучения. Это приводит к необходимости при расчете поляризуемости эффективной среды, представляющей собой диэлектрик с вкраплениями частиц полупроводника, учитывать вклад всех дипольных моментов, в том числе связанных с различием нерезонансных диэлектрических постоянных:  $\epsilon_f$  — внутри и  $\epsilon_0$  — снаружи частицы.

Для решения этой задачи рассмотрим вынужденные колебания электронов внутри частицы, малой по сравнению с длиной световой волны  $\lambda$ , при наличии резонансной полосы поглощения на частоте  $\omega_0$ . Уравнение движения электрона при воздействии внешнего поля  $E = E_0 e^{i\omega t}$  имеет вид [7, 8]

$$\ddot{x} + \nu \dot{x} + \omega_0^2 x = \frac{e}{m} \left( \frac{\epsilon_0}{s} E - \frac{4\pi L}{s} P \right), \quad (1)$$

где  $s = (\epsilon_f - \epsilon_0) L + \epsilon_0$ ;  $\nu$  — частота релаксации;  $L$  — деполяризующий фактор, определяемый соотношением осей эллипсоида [8], которым аппроксимируется форма частицы;  $P$  — поляризация среды в случае одинаковой ориентации анизомерных частиц,  $P = N e$  ( $N$  — число электронов в единице объема полупроводника, участвующих в данном переходе). Присутствие члена с  $P$  в уравнении (1) приводит к перенормировке резонансной частоты

$$\ddot{x} + \nu \dot{x} + (\omega_0^2 + \omega_s^2) x = \frac{e}{m} \frac{\epsilon_0}{s} E, \quad (2)$$

где

$$\omega_s^2 = \omega_P^2 L/s, \quad \omega_P^2 = 4\pi N e^2 / m. \quad (3)$$

При переходе к диэлектрической постоянной  $\epsilon$  эффективной среды, состоящей из диэлектрика с вкраплениями в него частицами полупроводника, уч-

тем, что определенная ранее поляризация  $P$  является дипольным моментом единицы объема внутри частицы (за исключением, естественно, той части дипольного момента, которая уже учтена в  $\epsilon_f$ ). Следовательно, для вычисления поляризации эффективной среды необходимо найти сумму полных дипольных моментов частиц с учетом поляризационных зарядов, образующихся не только на поверхности частиц, но и на прилегающей к частицам поверхности диэлектрика [8]. Определяя соответствующие поправочные коэффициенты [7, 8], вместо использованного в [3, 4] соотношения

$$\tilde{\epsilon} = \epsilon_0 + C(1 - \epsilon_0) + 4\pi CP/E \quad (4)$$

получим

$$\tilde{\epsilon} = \epsilon_0 + C(\epsilon_f - \epsilon_0)/s + 4\pi\epsilon_0 CP/Es. \quad (5)$$

Здесь  $C$  — объемная концентрация частиц в диэлектрике. Естественно, что для анизомерных частиц соотношения (4), (5) определяют компоненту тензора диэлектрической постоянной среды, соответствующую ориентации поля  $E$  вдоль одной из осей эллипсоидов.

При близких значениях  $\epsilon_f$  и  $\epsilon_0$  (как это, например, имеет место для частиц серебра в кристаллах KCl [3, 6]) соотношения (4) и (5) дают идентичный результат, что позволяет применять любое из них с равным успехом. В случае же полупроводниковых частиц с высоким  $\epsilon_f$  при определении  $\tilde{\epsilon}$  по формуле (5) появляются значительные поправки. Так из (2), (5) получим

$$\tilde{\epsilon} = \epsilon_1 - i\epsilon_2 = \epsilon_0 + C(\epsilon_f - \epsilon_0)/s + C\omega_P^2(\epsilon_0/s)^2/(\omega_0^2 + \omega_s^2 - \omega^2 + i\omega\nu), \quad (6)$$

$$\epsilon_1 = \epsilon_0 + C(\epsilon_f - \epsilon_0)/s + C\omega_P^2(\epsilon_0/s)^2(\omega_0^2 + \omega_s^2 - \omega^2)/[(\omega_0^2 + \omega_s^2 - \omega^2)^2 + \omega^2\nu^2], \quad (7)$$

$$\epsilon_2 = C\omega_P^2(\epsilon_0/s)^2\nu^2/[(\omega_0^2 + \omega_s^2 - \omega^2)^2 + \omega^2\nu^2]. \quad (8)$$

Обозначив  $\omega_0^2 + \omega_s^2 = \omega_m^2$ , при  $\omega_m^2 \gg \nu^2$  из (8), (3) получим соотношение, определяющее зависимость высоты пика  $\epsilon_{2m}$  от  $\omega_m$

$$\epsilon_{2m} = C\omega_P^2[1 - (\epsilon_f - \epsilon_0)(\omega_m^2 - \omega_0^2)/\omega_P^2]^2/\omega_m^2\nu. \quad (9)$$

Аналогичная зависимость, полученная с использованием соотношения (4), имеет вид

$$\epsilon_{2m} = C\omega_P^2[1 - (\epsilon_f - \epsilon_0)(\omega_m^2 - \omega_0^2)/\omega_P^2]/\omega_m^2\nu. \quad (10)$$

Для случая двух резонансных полос поглощения (случай «гибридного» резонанса [4, 9]), переходя к нормальным координатам, с помощью (5) получим

$$\tilde{\epsilon} = \epsilon_0 + C(\epsilon_f - \epsilon_0)/s + C \sum_{i=1}^2 A_i/(\omega_i^2 - \omega^2 + i\omega\nu_i), \quad (11)$$

где эффективные силы осцилляторов  $A_i$  равны

$$A_{1,2} = (\omega_{s1,2}^2 \epsilon_0^2 / s L) (\omega_{1,2}^2 - \omega_{m2,1}^2)^2 / [(\omega_1^2 - \omega_2^2)(\omega_1^2 - \omega_{m2}^2)], \quad (12)$$

а новые собственные частоты  $\omega_1$  и  $\omega_2$ , так же как и в [3, 4], определяются соотношением

$$2\omega_{1,2}^2 = \omega_{m1}^2 + \omega_{m2}^2 \pm [(\omega_{m1}^2 - \omega_{m2}^2)^2 + 4\omega_{s1}^2\omega_{s2}^2]^{1/2}. \quad (13)$$

Из соотношений (6)–(9) следует, что эффективная сила осциллятора при смещении резонансной частоты  $\omega_m$  падает быстрее, чем  $1/\omega_m$ , если  $\epsilon_f > \epsilon_0$ , и, наоборот, медленнее, чем  $1/\omega_m$ , если  $\epsilon_f < \epsilon_0$ . Сравнивая (9) и (10), можно видеть, что в полученных соотношениях зависимость силы осциллятора от разности  $\epsilon_f - \epsilon_0$  намного более существенна, чем в случае модели [3, 4].

Сопоставление с экспериментом проведено для субмикроскопических частиц теллура, внедренных в диэлектрическую матрицу — поликристаллический LiF. На рис. 1 представлены дисперсионные зависимости действительной и минимой частей диэлектрической постоянной теллура, измеренные для сплошной пленки толщиной 14 нм. Как видно из рис. 1, в видимой части спектра теллур

имеет пик междузонного поглощения при  $\lambda \approx 600$  нм; второй пик поглощения находится в ИК части спектра при  $\lambda \approx 1000$  нм. Указанные пики обусловлены переходами между энергетическими зонами, соответствующими расщепленному  $5p$ -уровню атомарного теллура [10, 11]. Со стороны УФ части спектра ближайшая полоса поглощения лежит при  $\hbar\omega \approx 10$  эВ [10], т. е. она существенно отдалена от исследуемой области поглощения. Это позволяет ввести упомянутую нерезонансную диэлектрическую постоянную  $\epsilon_f$ , которая, согласно оценкам [10], составляет  $\epsilon_f \approx 5$ . Зависимости  $\epsilon_1(\lambda)$  и  $\epsilon_2(\lambda)$  для теллура могут быть аппроксимированы суммой двух лорентцевых полос поглощения (рис. 1, кривые 3, 4), соответствующих гармоническим осцилляторам с двумя разными собственными

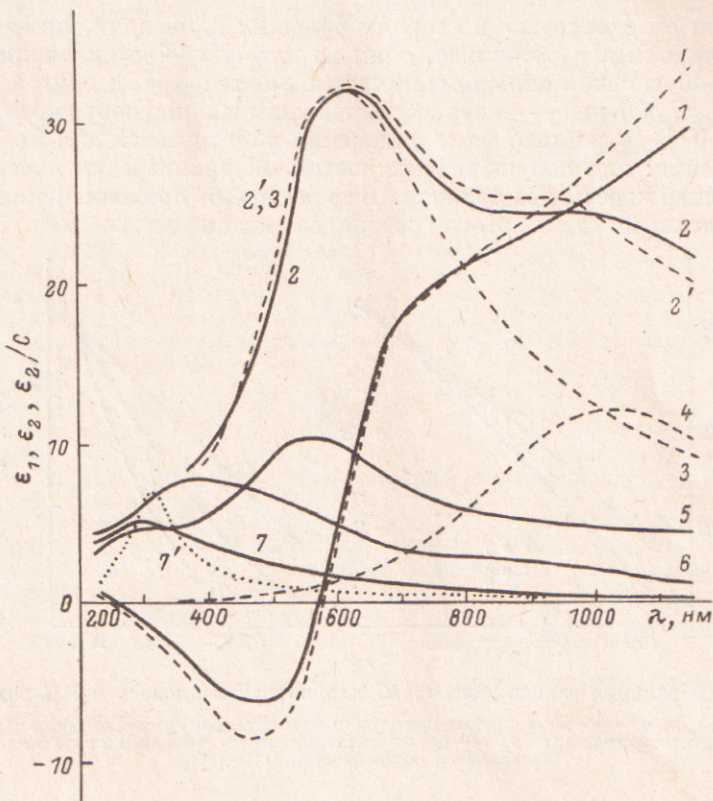


Рис. 1. Спектральные зависимости  $\epsilon_1$  (1, 1') и  $\epsilon_2$  (2, 2', 3, 4) для однородной пленки теллура, а также  $\epsilon_2/C$  (5—7, 7') для LiF с фазовыми включениями теллура.

1, 2, 5—7 — эксперимент; 3, 4 — лорентцевы полосы поглощения, рассчитанные для значений параметров, приведенных в таблице; 1', 2' — результат аппроксимации; 7' — расчет по формулам (11)–(13) для  $L=1/3$ . 5—7 соответствуют  $C=0.08; 0.04; 0.01$ .

частотами. Значения аппроксимационных параметров представлены в таблице. Из рис. 1 видно, что результирующие аппроксимационные кривые хорошо описывают экспериментальные зависимости.

На том же рисунке представлены спектральные зависимости  $\epsilon_2/C$  для мелко-дисперсного теллура — фазовые включения размеров  $\sim 10$  нм. Соответствующие матричные смеси изготавливались путем поочередного вакуумного осаждения прослоек LiF толщиной  $t_m=50$  нм и «островковых» прослоек теллура с массовой толщиной  $t_i=0.5 \div 5$  нм. Полученные таким образом частицы теллура при  $t_i \leqslant 1$  нм имеют шарообразную форму; по мере увеличения количества теллура в прослойке частицы приобретают форму сплюснутых эллипсоидов, причем при  $t > 3$  нм частицы начинают попарно сливатся, что соответствует еще более быстрому их «уплотнению». Таким образом, с увеличением массы прослоек теллура (т. е. с ростом  $C=t_i/t_m$ ) изменяется форма частиц, что в свою очередь сопровождается изменением спектра поглощения. Если для шарообразных частиц ( $L=1/3$ ) максимум поглощения находится на  $\lambda_m \approx 290$  нм, то по мере «упло-

Параметры аппроксимации дисперсионных зависимостей  
 $\varepsilon_1$  и  $\varepsilon_2$  для теллура

$\omega_0 \cdot 10^{-15}$ , с <sup>-1</sup>	$\omega_p^2 \cdot 10^{-30}$ , с <sup>-2</sup>	$\gamma \cdot 10^{-15}$ , с <sup>-1</sup>	$\varepsilon_f$	
			одноосцилляторная модель	двохосцилляторная модель
3.22	209	2.0	5	5
1.91	22.9	1.0	23	5

щения» частиц он сдвигается в сторону больших длин волн, причем при  $C \simeq 0.08$  появляются два резонанса, один из которых — длинноволновый ( $\lambda_m \simeq 560$  нм) — обусловлен слившимися частицами теллура, а другой — коротковолновый ( $\lambda_m \simeq 300$  нм) — вновь образовавшимися шарообразными центрами конденсации [12]. Несколько иные изменения наблюдаются для инфракрасного пика поглощения: для шарообразных частиц он практически исчезает, ослабляясь по крайней мере на два порядка. В то же время при изменении формы частиц спектральный сдвиг этого резонанса сравнительно мал.

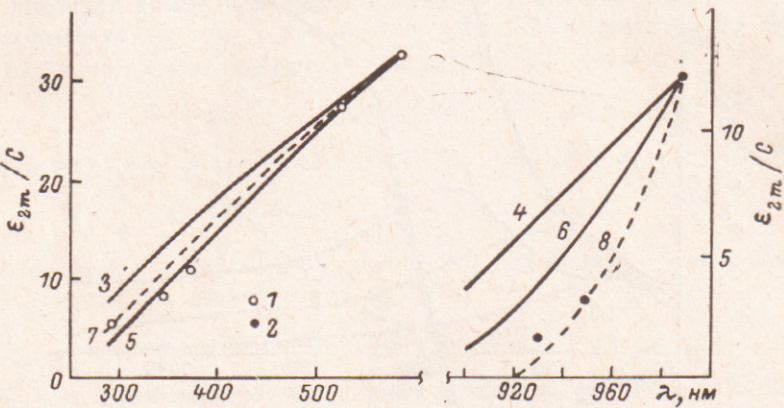


Рис. 2. Спектральные зависимости  $\varepsilon_{2m}/C$  для коротковолнового и ИК резонансов.

1, 2 — эксперимент; 3, 4 — расчет в одноосцилляторном приближении по соотношению (10); 5, 6 — аналогичный расчет по соотношению (9); 7, 8 — расчет для «гибридного» резонанса в двухосцилляторном приближении по соотношениям (11)–(13).

Естественно, что для сопоставления с теорией амплитуды резонансов необходимо перенормировать на реальную концентрацию частиц той или иной формы. В результате соответствующих расчетов, проведенных путем разделения сложных спектров поглощения (рис. 1, кривые 5, 6) на элементарные контуры, были получены экспериментальные зависимости для экстремальных значений  $\varepsilon_2$  —  $\varepsilon_{2m}(\lambda_m)$ , показанные на рис. 2. На том же рисунке приведены зависимости, рассчитанные по соотношению (10), соответствующему модели [4] в «одноосцилляторном» приближении. Из рис. 2 видно, что расчетные значения  $\varepsilon_{2m}$  оказываются примерно в 2 раза выше экспериментальных для коротковолнового резонанса и примерно в 5 раз — для инфракрасного. Значительно лучше согласуются с экспериментом зависимости  $\varepsilon_{2m}(\lambda_m)$ , рассчитанные по формуле (9) (рис. 2, кривые 5, 6), однако для ИК резонанса расчетные значения все же превышают экспериментальные примерно в 2 раза. Наилучшее согласие с экспериментом достигается в случае двухосцилляторного приближения «гибридного» резонанса, описываемого соотношениями (11)–(13) (кривые 7, 8). При этом соответствие имеет место одновременно для двух резонансов.

Полученные соотношения позволяют правильно описать не только амплитуду экстремумов, но и зависимость  $\varepsilon_2(\lambda)$ . В качестве примера на рис. 1 приведена рассчитанная по соотношениям (11)–(13) двухосцилляторной модели зависимость  $\varepsilon_2(\lambda)$  для шарообразных частиц, которая удовлетворительно согласуется с экспериментом во всем исследованном спектральном диапазоне.

Таким образом, подход, основанный на «поляризационном» сдвиге резонансной частоты междузонного поглощения, позволяет интерпретировать резонансные явления в средах, содержащих субмикроскопические частицы полупроводника. Игнорирование более тонких эффектов, например электрического дипольного взаимодействия частиц [1<sup>3</sup>], не позволяет в данном случае рассчитывать на лучшее согласие с экспериментом. Одним из наиболее важных фактов, определяющих амплитуды резонансов в полупроводниковых частицах, является составляющая дипольного момента, связанная с поляризационным зарядом, распределенным по прилегающей к частице поверхности диэлектрика. Для случая с двумя близкими пиками поглощения необходимо учитывать эффект «гибридного» резонанса, который оказывает наиболее существенное влияние на амплитуду и спектральное положение длинноволнового пика.

В заключение заметим, что сходство между наблюдаемыми эффектами и резонансом в металлических частицах [3], по-видимому, дает основание рассматривать коллективные резонансы в частицах полупроводника как возбуждение плазмонов на коротковолновом спаде полосы междузонного поглощения.

#### Литература

- [1] Хюлст ван де Г. Рассеяние света малыми частицами. М., 1961. 530 с.
- [2] Намре W. — Zs. Phys., 1958, v. 152, p. 476—494.
- [3] Милославский В. К., Шкляревский И. Н., Ярова Р. Г. — Опт. и спектр., 1979, т. 46, в. 2, с. 303—309.
- [4] Милославский В. К., Ярова Р. Г., Агеев Л. А. — Опт. и спектр., 1983, т. 54, в. 6, с. 1044—1048.
- [5] Аль-Абдела Р. Б., Костюк В. П., Шкляревский И. Н. — Опт. и спектр., 1980, т. 48, в. 6, р. 1143—1149.
- [6] Jain S. C., Agoga N. D., Chandhagu K. L. — J. Appl. Phys., 1974, v. 45, N 5, р. 2368—2369.
- [7] Ландau Л. Д., Лифшиц Е. М. Электродинамика сплошных сред. М., 1957. 532 с.
- [8] Браун В. Диэлектрики. М., 1961. 326 с.
- [9] Слэтер Дж. Диэлектрики. Полупроводники. Металлы. М., 1969. 647 с.
- [10] Hodgson J. N. — J. Phys. Chem. Sol., 1962, v. 23, N 12, р. 1737—1742.
- [11] Бассани Ф., Парравичини Д. П. Электронные состояния и оптические переходы в твердых телах. М., 1982. 392 с.
- [12] Чопра К. Л. Электрические явления в тонких пленках. М., 1972. 436 с.
- [13] Усокин А. И., Попова О. А. — Опт. и спектр., 1985, т. 59, в. 6, с. 1323—1325.

Поступило в Редакцию 21 февраля 1986 г.